

## مطالعه‌ی خواص الکتریکی دیود شاتکی هیبریدی با ساختار Al/TiO<sub>2</sub>-ZnS: MAPbI<sub>3</sub>/Au

فاطمه بمانی<sup>۱,۲</sup>، محمود برهانی زرنده<sup>۱,۲</sup>، حجت امراللهی بیوکی<sup>۱,۲</sup>، سیدمحمد‌مهدی حسینی زارچ<sup>۱,۲</sup>، علیرضا رهنمانیک<sup>۱,۲</sup>

<sup>۱</sup> گروه پژوهشی فوتونیک، مرکز تحقیقات مهندسی، دانشگاه یزد

<sup>۲</sup> گروه اتمی مولکولی، دانشکده‌ی فیزیک، دانشگاه یزد

<sup>۳</sup> گروه حالت جامد، دانشکده‌ی فیزیک، دانشگاه یزد

چکیده - دیود سد شاتکی با ساختار هیبریدی  $Al/TiO_2-ZnS:CH_3NH_3PbI_3/Au$  با استفاده از دستگاه لایه‌نشانی چرخشی تهیه گردید. منحنی مشخصه جریان- ولتاژ (I-V) نمونه جهت وجود یکسوسازی مورد بررسی قرار گرفت. این دیود یک رفتار کاملاً نامتقارن و غیرخطی با فاکتور ایده‌آل بزرگتر از یک را از خود نشان داد. مکانیسم جریان رسانش نیز مورد مطالعه قرار گرفت. همچنین پارامترهای شاتکی از قبیل ارتفاع سد پتانسیل و فاکتور ایده‌آل به ترتیب نزدیک به ۰/۷۱ eV و ۴/۸۶ به دست آمد.

کلید واژه-: پروسکایت، تیتانیوم‌دی‌اکسید، دیود شاتکی هیبریدی، سولفید روی

## Study on Electrical Properties of Hybrid Schottky Diode Based on Al/TiO<sub>2</sub>-ZnS: MAPbI<sub>3</sub>/Au

Fatemeh Bemani<sup>a,b</sup>, Mahmoud Borhani Zarandi<sup>a,b</sup>, Hojjat Amrollahi Bioki<sup>a,b</sup>, S.M.M. Hosseini Zarch<sup>a,b</sup>, A.R. Rahnamanic<sup>a,c</sup>

<sup>a</sup> Photonics Research Group, Engineering Research Center, Yazd University, Yazd, Iran

<sup>b</sup> Atomic and Molecular Physics group, Faculty of Physics, Yazd University, Yazd, Iran

<sup>c</sup> Solid state group, Faculty of Physics, Yazd University, Yazd, Iran

**Abstract-** Al/TiO<sub>2</sub>-ZnS:MAPbI<sub>3</sub>/Au schottky diode was fabricated by spin coating method. The current-voltage characteristics have been studied to explain of rectification generation. The diode shows non-ideal I-V behavior with an ideality factor greater than unity. The conduction mechanism was investigated. The diode parameters such as barrier height and ideality factor were found as 0.71 eV and 4.86, respectively.

**Keywords:** Perovskite, TiO<sub>2</sub>, Hybrid Schottky Diode, ZnS.

این مقاله در صورتی دارای اعتبار است که در سایت [www.opsi.ir](http://www.opsi.ir) قابل دسترسی باشد.

## ۱- مقدمه

دست آمد. برای ایجاد اتصال با مدار قطعات ساخته شده چسب نقره بر روی الکترودهای فلزی طلا و آلومینیوم قرار داده شد. دیودهای هیبریدی ساخته شده دارای ساختار ساندویچی  $\text{Al}/\text{TiO}_2\text{-ZnS:MAPbI}_3/\text{Au}$  می‌باشد. مشخصه جریان- ولتاژ قطعات ساخته شده به وسیله میکروآمپر متر Keithely 2400 اندازه گیری شد.

## ۲- بخش تئوری

ساکسنا پیشنهاد کرد که مشخصه  $I-V$  غیرخطی اتصال فلز- نیمرسانا می‌تواند بر طبق یکی از مکانیزم‌های جریان محدود شده بار فضائی (SCLC)، تئوری گسیل پوله- فرنکل و یا تئوری گسیل ترموبونی تفسیر شود [۲]. چگالی جریان برای گسیل پوله- فرنکل می‌تواند از معادله زیر بدست آید:

$$\frac{J}{V} = \left(\frac{J}{V}\right)_0 \exp\left(\frac{\beta(\frac{V}{d})^{1/2}}{nk_B T}\right) \quad (1)$$

در این رابطه  $\beta = \frac{q^3}{\pi \epsilon \epsilon_0}$ ،  $n$  فاکتور ایده‌آل،  $\epsilon$  ثابت دیکتریک نیمرسانا،  $\epsilon_0$  پذیرفتاری خلاء،  $d$  ضخامت لایه،  $k_B$  بار الکتریکی،  $J$  دانسیته جریان و  $V$  ولتاژ اعمالی،  $T$  ثابت بولتزمن و  $T$  دمای مطلق می‌باشد [۳]. اثر شاتکی شامل گسیل الکترون توسط فعالیت گرمایی از الکترود فلز به سمت نوار رسانش نیمرسانا از روی سد پتانسیل در فصل مشترک فلز- نیمرسانا است. در این حالت مشخصه جریان ولتاز سد شاتکی را می‌توان به وسیله فرایند گسیل ترموبونی استاندارد توصیف کرد. معادله چگالی جریان از رابطه معروف شاتکی (رابطه (۲)) داده می‌شود [۳].

$$J_{S \rightarrow m} = J_0 \exp\left(\frac{qV_{eff}}{nkT} - 1\right) \\ = A^{**} T^\gamma \exp\left(\frac{-q\phi_{bn}}{kT}\right) \exp\left(\frac{qV_{eff}}{nkT} - 1\right) \quad (2)$$

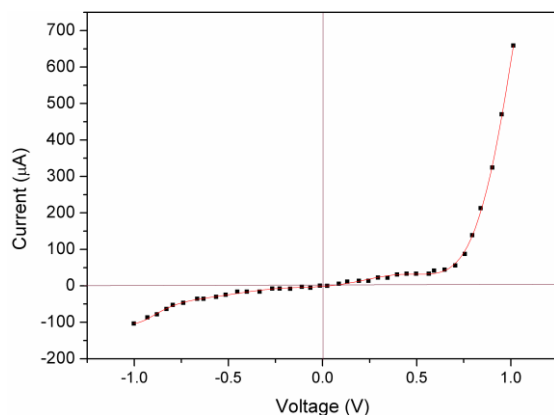
که در آن  $A^{**} = AA^*$  می‌باشد.  $A^*$  ثابت مؤثر ریچاردسون و تقریباً برابر  $120 \text{ A.cm}^{-2}\text{K}^{-2}$  است.  $A$  مساحت پیوند،  $T$  دمای مطلق بر حسب درجه کلوین،  $k$  ثابت بولتزمن،  $V_{eff}$  ولتاژ مؤثر دو سر پیوند و  $n$  فاکتور ایده‌آل دیود است. بدین معنی که برای یک دیود شاتکی ایده‌آل،

قطعات الکترونیکی آلی-معدنی و پلیمری همان‌گونه که از نامشان آشکار است، با لایه‌نشانی مواد آلی-معدنی یا پلیمری ساخته می‌شوند و با توجه به تنوع مواد آلی و ترکیبات و مشتقات آن‌ها می‌توانند گستره وسیعی از خواص الکترونیکی و نوری را بروز دهند. قطعات الکترونیکی ساخته شده از مواد آلی-معدنی علاوه بر قابلیت‌های مذکور، توانایی پاسخگویی به مهمترین چالش‌های صنعت قطعات نیمرسانا یعنی سختی فرایند لایه‌نشانی و آلاتیین و عدم سازگاری با محیط زیست را دارند. تاکنون از پلیمرهای نیمرسانا از قبیل پلی‌پیرون، پلی‌تیوفن و مشتقات آن‌ها برای ساخت ترانزیستورهای اثر میدانی، دیودهای نورگسیل، سلول‌های فوتولتایی و دیودهای شاتکی [۱] استفاده شده و خواص و پارامترهای آن مورد بررسی قرار گرفته است. اخیراً مواد با ساختار هالوژنی پروسکایت با فرمول عمومی  $\text{RNH}_3\text{MX}_3$  که در آن  $X = \text{I, Br, Cl}$  و  $M = \text{Pb, R} = \text{C}_n\text{H}_{2n+1}$  دلیل قابلیت کاربرد در سلول‌های خورشیدی، عایق‌های توپولوژیکی و ابرسانایی مورد توجه قرار گرفته است. در این مقاله خواص الکتریکی یک نمونه دیود شاتکی با ساختار  $\text{CH}_3\text{NH}_3\text{PbI}_3$  (متیل آمونیوم سرب یدید (MAPbI<sub>3</sub>) و نانوذرات تیتانیوم‌دی‌اکسید و سولفید روی مورد مطالعه و بررسی قرار می‌گیرد.

## ۳- بخش تجربی

لایه نازک آلومینیوم به عنوان اتصال اهمی به روش تبخیر حرارتی- مقاومتی توسط دستگاه VAS BUC 78535 دانشکده فیزیک دانشگاه یزد تهیه شد. خمیر نانوذرات  $\text{TiO}_2$  با استفاده از اتانول رقیق شد و سپس به ضخامت یک میکرومتر به روش لایه‌نشانی چرخشی روی زیرلایه آلومینیوم قرار گرفت و در دمای ۵۰۰ درجه سانتی‌گراد پخت داده شد. در این مرحله، لایه نازک سولفیدروی به ضخامت ۱۰۰ نانومتر بر روی لایه  $\text{TiO}_2$  به روش چرخشی لایه‌نشانی شد و در دمای ۱۲۰ درجه سانتی‌گراد خشک شد. سپس لایه‌ی هیبریدی MAPbI<sub>3</sub> با استفاده از روش دومرحله‌ای غوطه‌وری لایه‌نشانی شد. با قرار دادن ماسک مناسب، فلز طلا نیز با استفاده از روش کندوپاش کاتدی بر روی زیرلایه‌ی هیبریدی لایه‌نشانی شد به طوری که سطح مقطع مؤثر دیود برابر  $12 \text{ cm}^2/0.012$  به

۵/۱ الکترون‌ولت است [۳] در سمت طلا اتصال اهمی شکل می‌گیرد. این نشان می‌دهد که تابع کار ترکیب  $\text{TiO}_2\text{-ZnS:MAPbI}_3$  بین مقادیر  $۳/۷۵$  و  $۵/۱$  الکترون‌ولت می‌باشد. از آنجا که نیم‌رسانای  $\text{TiO}_2\text{-ZnS}$  یک نیم‌رسانای  $n$  می‌باشد [۵]، با توجه به نمودار کاملاً نامتقارن جریان‌ولتاژ پیوند  $\text{TiO}_2\text{-ZnS:MAPbI}_3$  می‌توان نتیجه گرفت ساختار MAIPbI<sub>3</sub> به عنوان لایه نیم‌رسانای نوع p عمل می‌کند که با نتایج دیگر محققان که از این ساختار برای لایه جاذب از نوع p در سلول‌های خورشیدی پروسکایت مورد استفاده قرار می‌دهند مطابقت دارد [۵].



شکل ۲: مشخصه جریان-ولتاژ دیود ساخته شده با ساختار  $\text{Al}/\text{TiO}_2\text{-ZnS:MAPbI}_3/\text{Au}$

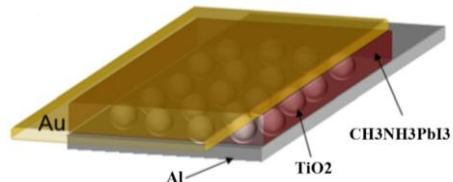
شکل ۳، نمودارهای  $\ln I\text{-}V^{1/2}$  و  $\ln(\ln I)\text{-}V$  برای دیود ساخته شده از ترکیب  $\text{TiO}_2\text{-ZnS:MAPbI}_3$  را نشان می‌دهد. همانطور که مشاهده می‌شود در ولتاژهای بالاتر از  $۰/۶$  ولت نمودار  $\ln I$  بر حسب  $V$ ، همچنین نمودار  $\ln(\ln I)$  بر حسب  $V^{1/2}$  خطی است که مؤید این است که فرایند غالب در این محدوده، گسیل ترمومیونی و گسیل پوله-فرنکل می‌باشد و برای ولتاژهای پایین تر فرایند حاکم گسیل پوله-فرنکل می‌باشد. از روی شبیه نمودار  $\ln I$  بر حسب  $V$  می‌توان فاکتور ایده‌آل دیود مورد نظر را با استفاده از رابطه (۳) به دست آورد.

$$n = \frac{\frac{q}{kT}}{\left( \frac{d \ln J}{dV} \right)} \quad (3)$$

مقدار n برابر ۱ و برای دیود شاتکی غیرایده‌آل، مقداری بزرگتر از ۱ خواهد بود. حال برای تشخیص اینکه کدام یک از فرایندهای فوق بر مشخصه غیرخطی جریان-ولتاژ دیود ساخته شده حاکم است نیاز به یک بررسی کمی است. سیستمی که مکانیزم SCLC بر آن حاکم است در صورتی که نمودار  $\ln I$  بر حسب  $\ln V$  برای آن رسم شود نمودار خط راستی با شیب ۲ می‌شود. اگر مکانیزم غالب گسیل پوله-فرنکل باشد از رسم نمودار  $\ln(I/V)$  بر حسب  $V^{1/2}$  یک خط راست بدست می‌آید و در نهایت اگر برای سیستمی تغییرات  $\ln I$  بر حسب  $V$  خطی شود نشان‌دهنده آن است که گسیل ترمومیونی فرایند غالب انتقال جریان در پیوندگاه فلز-نیم‌رسانا می‌باشد [۴].

#### ۴- نتایج و بحث

دیود شاتکی هیبریدی به شکل ساندویچی بین دو الکترود فلزی غیر مشابه تهیه می‌گردد. انتخاب این فلزات باید به گونه‌ای باشد که تابع کار نیم‌رسانا بین توابع کار آن‌ها قرار گیرد و معمولاً با توجه به نوع آلایش لایه، یکی از فلزات باعث ایجاد اتصال اهمی و دیگری باعث ایجاد اتصال یکسوساز سد شاتکی می‌شود. برای ایجاد سد یکسوساز در فصل مشترک نیم‌رسانا هیبریدی / فلز، تابع کار فلز باید کمتر از نیم‌رسانا نوع p باشد. اگر تابع کار بر عکس باشد اتصال ایجاد شده اهمی است. شکل ۱ نمایش طرح وار از دیودهای شاتکی هیبریدی ساخته شده با ساختار  $\text{Al}/\text{TiO}_2\text{-MAPbI}_3/\text{Au}$  نشان می‌دهد.



شکل ۱: یک نمونه دیود ساخته شده از  $\text{Al}/\text{TiO}_2\text{-MAPbI}_3/\text{Au}$ .

شکل ۲، نمودار جریان-ولتاژ دیود هیبریدی با ساختار  $\text{Al}/\text{TiO}_2\text{-ZnS:MAPbI}_3/\text{Au}$  را نشان می‌دهد که به صورت کاملاً نامتقارن و غیرخطی می‌باشد. در بایاس مستقیم برای ولتاژهای پایین جریان به صورت خطی در افزایش می‌یابد و برای ولتاژهای بالا به صورت خطی در حال افزایش می‌باشد. این دیود به طور واضح یک رفتار یکسوكنندگی از خود نشان می‌دهند. از آنجا که آلومینیوم دارای تابع کار  $۳/۷۵$  الکترون‌ولت و طلا دارای تابع کار

باشد که باعث کاهش پهنهای لایه تهی و افزایش جریان تونل زنی می‌شود که در اثر آن یکسوکنندگی پیوندگاه فلز-نیمرسانا کاهش خواهد یافت [۳].

با استفاده از معادله (۲) و (۳) و با توجه به شکل ۳-ج، جریان اشباع معکوس و ارتفاع سد شاتکی به ترتیب آمد که با نتایج دیگران قابل مقایسه است [۵].

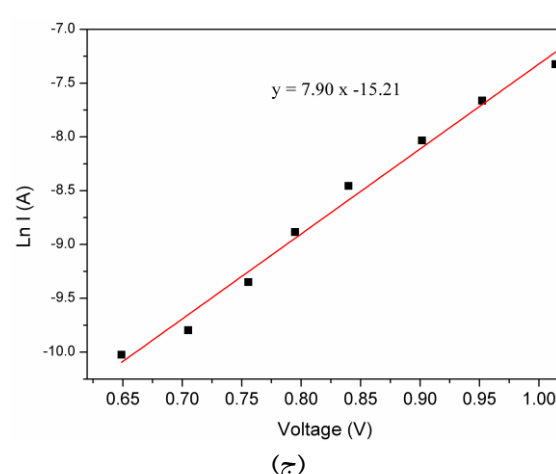
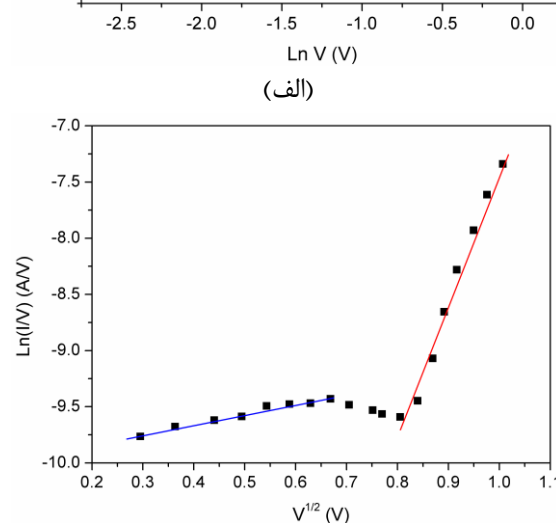
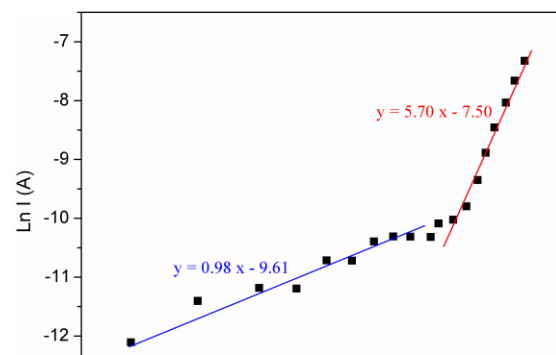
از آنجا که تعیین پارامترهای یک دیود بر پایه چندین فرض است، در عمل ممکن است یک یا چند تا از این فرض‌ها معتبر نباشد؛ در نتیجه در فرایند انتقال جریان امکان دارد که چندین مکانیزم به طور همزمان دخالت داشته باشند که این پدیده برای ساختارهای آمورف مشاهده شده است [۴].

## ۵- نتیجه‌گیری

از روی منحنی مشخصه I-V دیود ساخته شده با ساختار Al/TiO<sub>2</sub>:MAPbI<sub>3</sub>/Au یک رفتار کاملاً نامتقارن و غیرخطی مشاهده شد که یک نوع رفتار یکسوکنندگی برای این ساختار با لایه ZnS از خود نشان می‌دهد. از نمودارهای رسم شده می‌توان استنباط کرد که سازوکار رسانش در ولتاژهای پایین به وسیله گسیل پوله-فرنکل از روی سد پتانسیل فصل مشترک فلز/نیمرسانا و در ولتاژهای بالا توسط اثر پوله-فرنکل همراه با گسیل ترمیونی تعیین می‌گردد. همچنین پارامترهای شاتکی این نوع ساختار پیوندی شامل ارتفاع سد پتانسیل، چگالی جریان معکوس و فاکتور ایده‌آل به ترتیب نزدیک به ۰/۷۱ eV، ۰/۰۵ mA/cm<sup>2</sup> و ۴/۸۶ eV به دست آمد.

## مراجع

- [1] G. Sharma, S. Sharma, M. Roy, "Electrical and photoelectrical properties of dye-sensitized allyl viologen-doped polypyrrole solar cells". Solar energy materials and solar cells, Vol. 80, No. 2, 131-142, 2003.
- [2] I. S. M. Sze, "Physics of Semiconductor Devices", 2nd edition. New York, Wiley international (1981).
- [3] J. Zhang, H. Tanaka, T. Kawai, "Rectifying characteristic in all-perovskite oxide film pn junction with room temperature ferromagnetism". Applied physics letters, Vol. 80, No. 4378-4380, 2002.
- [4] R. Gupta, R. Singh, "Schottky diode based on composite organic semiconductors". Materials science in semiconductor processing, Vol. 7, No. 1, 83-87, 2004.
- [5] J. Liu, C. Gao, L. Luo, Q. Ye, X. He, L. Ouyang, X. Guo, D. Zhuang, C. Liao, J. Mei, "Low-temperature, solution processed metal sulfide as an electron transport layer for efficient planar perovskite solar cells", Journal of Materials Chemistry A, Vol. 3, No. 22, pp. 11750-11755, 2015.



شکل ۳: منحنی ln(I/V)-V<sup>1/2</sup>. ب- منحنی lnI-InV. ج- منحنی lnI/TiO<sub>2</sub>-ZnS:MAPbI<sub>3</sub>/Au برای دیود شاتکی با ساختار

از محل قطع نمودار lnI بر حسب V، با محور عمودی، جریان اشباع معکوس  $I_0$  بدست می‌آید و با جایگذاری آن در رابطه (۲)، ارتفاع سد شاتکی ( $q\phi_B$ ) پیوند Al/TiO<sub>2</sub>:MAPbI<sub>3</sub> بدست می‌آید. فاکتور ایده‌آل برای این دیود ۴/۸۶ بدست آمد. علت انحراف فاکتور ایده‌آل از مقدار ۱ می‌تواند به آلایش بالای پروسکایت هم مربوط